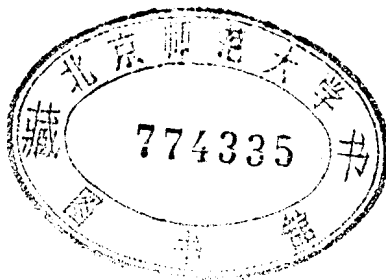


# 置换群约化系数及其应用

陈金全 高美娟 著



科学出版社

1981

## 内 容 简 介

置换群的内、外积约化问题在群论应用中占有十分重要的地位。置换群的约化系数和酉群的约化系数有着密切联系，这些约化系数在核理论、基本粒子、原子分子物理、固体物理及量子化学等方面有着广泛应用。本书介绍置换群的约化系数及其各种应用。

全书分为两部分，第一部分包括置换群标准基的标志和求法，置换群 CG 系数，置换群外积约化系数等。第二部分包括 CG 系数表，外积约化系数表。

本书可供理论物理、群论研究工作者以及大中院校有关专业师生参考。

## 置换群约化系数及其应用

陈金全 高美娟 著

\*

科学出版社出版  
北京朝阳门内大街 137 号

中国科学院印刷厂印刷

新华书店北京发行所发行 各地新华书店经售

\*

1981 年 4 月第 一 版 开本：787×1092 1/16  
1981 年 4 月第一次印刷 印张：6 1/4 插页：15  
印数：0001—4,800 字数：139,000

统一书号：13031·1527  
本社书号：2093·13—3

定 价：2.15 元

# 前　　言

置换群的内、外积约化问题，在群论应用中占有很重要的地位。人们早就知道<sup>[1,2]</sup>  $SU_{mn}$  群的 IR (不可约表示) 相对于其子群  $SU_m \times SU_n$  的约化规则和置换群内积约化规则相同，而  $SU_{m+n}$  群的 IR 相对于其子群  $SU_m \otimes SU_n$  的约化规则及  $SU_n$  群直乘表示的约化规则和置换群外积约化规则相同。置换群内、外积的约化规则也早已为人们所了解。六十年代还将这些约化规则的计算程序化，用电子计算机算出了一批置换群内、外积约化规则表<sup>[2]</sup>。内积约化规则又称 CG (Clebsch-Gordan) 序列，外积约化规则常称为 Littlewood 规则<sup>[3]</sup>。可是，另一方面，对置换群内外积约化系数的研究远远落在后面，主要表现在下列两方面。

1. 对内、外积约化系数的意义认识不足，而以上提到的置换群和酉群的一些约化规则上的联系，仅仅是这两个群之间深刻的内在联系的一种表面现象<sup>[4]</sup>。我们证明了<sup>[4,5]</sup>这两个群在约化系数方面也有很多密切的联系。例如置换群内积约化系数即 Clebsch-Gordan 系数(以下简称为 CG 系数或 CGC)就是将  $SU_m$  和  $SU_n$  群的 IR 基耦合成  $SU_{mn}$  群 IR 基的耦合系数<sup>[5]</sup>。在轻核结构和核反应理论中常常要用到  $SU_4 \supseteq SU_2 \times SU_2$  分类基，在基本粒子层子模型中常常要用到  $SU_6 \supseteq SU_3 \times SU_2$  或  $SU_8 \supseteq SU_4 \times SU_2$  等分类基，利用 CG 系数就可以很方便地构造  $m, n$  为任意值的  $SU_{mn} \supseteq SU_m \times SU_n$  分类基。

类似地，置换群外积约化系数 (Outer-Product Reduction Coefficient，缩写为 ORC) 就是将任一  $SU_m$  和  $SU_n$  群 IR 基耦合成  $SU_{m+n}$  群 IR 基的耦合系数<sup>[5]</sup>，利用 ORC 就可方便地构造  $m, n$  为任意值的  $SU_{m+n} \supseteq SU_m \otimes SU_n$  分类基。此外，我们还证明了<sup>[4]</sup>任何  $SU_n$  群的 CG 系数都可由置换群 ORC 简单导出，这样就为计算  $SU_n$  群 CG 系数提供了另一种很有效的方法——由 ORC 同时求出所有  $SU_n$  群的 CG 系数(即不必像通常那样，要一个  $n$ 、一个  $n$  地计算 CG 系数)，解决了高维酉群 CG 系数计算的困难。

文章[24]中证明了置换群  $S_f \supseteq S_{f_1} \otimes S_{f_2}$  ( $f_1 + f_2 = f$ ) 同位标量因子(iso scalar factor)就是分出  $f_2$  个粒子的  $SU_{mn} \supseteq SU_m \times SU_n$  母分系数(fractional parentage coefficients)，而置换群  $S_f \supseteq S_{f_1} \otimes S_{f_2}$  外积同位标量因子就是分出  $f_2$  个粒子的  $SU_{m+n} \supseteq SU_m \otimes SU_n$  母分系数。因此，由置换群 CGC 和 ORC 又可方便地算得  $m, n$  为任意值的  $SU_{mn} \supseteq SU_m \times SU_n$  和  $SU_{m+n} \supseteq SU_m \otimes SU_n$  母分系数。

Shelepin<sup>[25]</sup> 还指出置换群  $S_f$  的 CG 系数就是 Lorentz 群的母分系数[或相对论性母分系数(relativistic fractional parentage coefficients)]。

在理论物理或量子化学计算中常用到置换群  $S_{f_1+f_2} \supseteq S_{f_1} \otimes S_{f_2}$  分类基到  $S_{f_1+f_2}$  群 Yamamoto 基的表象变换和酉群  $SU_{m+n} \supseteq SU_m \otimes SU_n$  分类基到  $SU_{m+n}$  群 Gelfand 基之间的表象变换。利用 ORC 可方便地求得这两种系数<sup>[5,24]</sup>。

2. 由于置换群群代数结构的复杂性，因此，置换群的研究虽然已有上百年的历史，

1) 关于这两个群之间其它方面的一些联系见文献 [6—10]

但至今还没有内、外积约化系数表，甚至连外积约化系数这个名词也没有被提到过。Mahmoud 和 Cooper<sup>[11]</sup> 用直接的方法计算了置换群  $S_3$  和  $S_4$  的 CGC。Hamermesh<sup>[12]</sup> 比较详细地研究过置换群 CGC，给出了一个计算置换群 CGC 的递推公式，但 Hamermesh 本人也指出，用这种递推公式计算 CGC 是一桩“厌烦”的工作，他只给出了一个低维数的 CGC 表 ( $S_5$  群  $[311] \times [311]$ ，见 [12] p. 274)。后来 Sullivan<sup>[10]</sup> 又对 bipartition (即配分为  $[a, b]$  的情形) 多重性 (multiplicity) 为 1 的情形给出了另一个递推公式。这个公式仍然很繁，Sullivan 也未给出任何数值表。最近 Williams 和 Pursey<sup>[13]</sup> 用改进了的投影算符法讨论了置换群外积约化问题，但还没有讨论 ORC 问题。

我们在文章[14—16]中提出了一种新的有限群表示理论，其特点是完全用量子力学的完备算符集方法来处理群表示问题，把群表示论中的基本问题，如计算特征标、IR 基、不可约矩阵元和 CGC 等都归结为求群  $G$  的某种完备算符集的本征值和本征函数问题。这样就把求置换群的 CGC 和 ORC 问题归结为将置换群的第二类完备算符集 (CSCO-II) 在非耦合表象中的矩阵表示同时对角化，为计算这两个重要系数提供了切实可行的方法。我们用 Algol-60 算法语言编写了程序，在国产 TQ-16 电子计算机上算得了  $S_f (f \leq 6)$  的 CGC 和 ORC。

本书分两部分，第一部分介绍置换群 CGC 和 ORC 的性质、用途、计算方法和计算程序。第二部分为置换群  $S_f (f \leq 6)$  的 CGC<sup>1)</sup> 和 ORC 表，这里关于内外积约化系数的一般理论写得比较简略，读者进一步可参考文章[24]第四章。

吴式枢教授仔细审阅了本书，王凡同志和我们作过多次有益的讨论，周孝谦教授和王凡同志仔细阅读了原稿，提出了不少宝贵意见，作者表示衷心的感谢。

何雪初教授，王家松，姚允国，陈沫天，黄楚珊等同志在选择计算方案，编制程序等方面给了我们很多的帮助，上海光机所，南京天文仪器厂，南京 513 厂计算机房的同志不辞劳苦，帮助我们克服了计算过程中碰到的种种困难，作者在此一并致谢。

---

1)  $S_6$  群  $[321] \times [321] \rightarrow [321]$  的 CG 系数表，因维数太高，没有列出。

# 目 录

前言 .....	iii
----------	-----

## 第一部分

第一章 置换群标准基的标志和求法 .....	1
第二章 置换群 CG 系数 .....	6
2.1 置换群的内积 .....	6
2.2 计算置换群 CG 系数的本征函数法 .....	6
2.3 置换群 CG 系数的性质 .....	10
2.4 置换群 CG 系数的用途 .....	11
2.5 CG 系数计算程序说明 .....	16
附录 1 置换群 CG 系数计算程序 .....	24
第三章 置换群外积约化系数 .....	30
3.1 置换群的外积 .....	30
3.2 置换群外积约化系数及其性质 .....	32
3.3 计算外积约化系数的本征函数法 .....	35
3.4 置换群外积约化系数的用途 .....	38
3.5 外积约化系数计算程序说明 .....	46
附录 2 置换群外积约化系数计算程序 .....	51
参考文献 .....	61

## 第二部分

I. CG 系数表 .....	62
II. 外积约化系数表 .....	62

# 第一部分

## 第一章 置换群标准基的标志和求法

一个群的 CGC 和所选取的 IR 基有关。下面我们讨论置换群 CGC 和 ORC 都是针对置换群标准基而言的。为方便读者，这里首先扼要介绍一下置换群标准基的定义、求法和标志方法。

置换群的 Young-Yamanouchi 基<sup>[12]</sup>，或称为置换群标准基，是指按群链  $S_n(1, \dots, n) \supset S_{n-1}(1, \dots, n-1) \supset \dots \supset S_2(1, 2)$  的不可约表示分类的一种 IR 基。我们在文[15]中证明了  $S_f$  群及其子群的  $f-1$  个二循环类算符  $(C_f, C_{f-1}, \dots, C_2)$  构成  $S_f$  群的第二类完备算符集(CSCO-II)，再根据文[14]定理 3 可知，求  $S_f$  群的标准基归结为求解以下联立本征方程：

$$C_n \Psi_m^{\nu} = \lambda_n \Psi_m^{\nu}, \quad n = f, f-1, \dots, 3, 2 \quad (1.1a)$$

$$(\nu, m) = (\lambda_f, \lambda_{f-1}, \dots, \lambda_2), \quad (1.1b)$$

这里  $\nu$  代表不可约表示的标志，即配分数  $[\nu]$ ， $m$  为分量指标， $\tau$  为多重性指标， $C_n$  为  $S_n(1, 2, \dots, n)$  群二循环类算符

$$C_n = \sum_{i>j=1}^n (ij), \quad (1.2)$$

$\lambda_n$  为它的本征值，(1.1b) 式中的等号表示该式子左右两边一一对应。换言之， $S_f$  群的一个标准基可用  $(f-1)$  个量子数  $(\lambda_f, \lambda_{f-1}, \dots, \lambda_2)$  唯一标志，它和  $(f-1)$  个 Yamanouchi 数  $(r_f, r_{f-1}, \dots, r_2, r_1 \equiv 1)$  或和一个杨盘一一对应。对物理工作来说，用量子数  $\lambda$  标志一个 IR 基比用杨盘或 Yamanouchi 数标志更容易理解。下面讨论新老两种标志方法的联系。

1.  $S_f$  群配分数  $[\nu] = [\nu_1, \nu_2, \dots]$  和二循环类算符  $C_f$  的本征值  $\lambda_f^{(0)} = \lambda_f$  有很简单的关系。量子数  $\lambda_f$  等于属于  $IR[\nu]$  的任一基函数中对称对的数目  $N_s$  和反对称对的数目  $N_a$  之差<sup>[27]</sup>， $N_s$  和  $N_a$  可这样来计算，处于杨图  $[\nu]$  中同一行的粒子视为对称，处于同一列的粒子视为反对称，而在同一行或同一列的粒子视为一半对称，一半反对称，因此对  $N_s - N_a$  不起贡献。于是可立即写下  $\lambda_f$  的表达式：

$$\lambda_f = N_s - N_a = \sum_i \binom{\nu_i}{2} - \sum_i (\nu_i - \nu_{i+1}) \binom{i}{2} = \frac{f}{2} + \frac{1}{2} \sum_i \nu_i (\nu_i - 2i), \quad (1.3)$$

这里  $\binom{\nu_i}{l}$  等代表二项式系数。此外还可证明，若  $S_f$  群配分  $[\nu]$  对应于本征值  $\lambda_f$ ，则共轭表示  $[\tilde{\nu}]$  对应于本征值  $-\lambda_f$ ；自轭表示  $([\tilde{\nu}] = [\nu])$  的本征值  $\lambda_f = 0$ 。由此可见，量子数  $\lambda$  是  $IR[\nu]$  中对称对多少的一种量度。例如  $(\lambda_f)_{\max} = \binom{f}{2}$  对应于全对称表示  $[f]$ ， $(\lambda_f)_{\min} = -\binom{f}{2}$  对应于全反对称表示  $[1^f]$ 。表 1 给出配分  $[\nu]$  和本征值  $\lambda_f$  的对照表。注意， $S_n$  群的每一配分必对应一个本征值  $\lambda_n$ ，但反之不然，例如由表 1 看到， $S_6$  群 [411]

表 1  $S_n$  群 ( $n \leq 10$ ) 配分和本征值  $\lambda_n^{(\nu)}$  的对照表

$\nu$	$S_2$	$S_3$			$S_4$			$S_5$			$S_6$			$S_7$						
		[2]	[3]	[21]	[4]	[31]	[22]	[5]	[41]	[32]	[31]	[6]	[51]	[42]	[41]	[33]	[321]			
$\lambda_n^{(\nu)}$	1	3	0	6	2	0	10	5	2	0	15	9	5	3	3	0				
$\lambda_n^{(\nu)}$	21	14	9	7	6	3	1	0	28	20	14	12	10	7	4	8	4	2	0	0
$\nu$	[7]	[61]	[52]	[51]	[43]	[421]	[31]	[41]	[8]	[71]	[62]	[61]	[53]	[521]	[51]	[42]	[431]	[421]	[4211]	[32]
$\lambda_n^{(\nu)}$	36	27	20	18	15	12	9	12	8	6	4	6	3	1	0	0				
$\nu$	[9]	[81]	[72]	[71]	[63]	[621]	[61]	[54]	[531]	[52]	[512]	[51]	[431]	[432]	[431]	[51]	[33]	$S_{10}$		
$\lambda_n^{(\nu)}$	45	35	27	25	21	18	15	17	13	11	9	5	15	10	7	5	3	5	3	0
$\nu$	[10]	[91]	[82]	[81]	[73]	[721]	[71]	[64]	[631]	[62]	[61]	[54]	[532]	[531]	[521]	[42]	[41]	[43]	[4321]	[521]
$\lambda_n^{(\nu)}$																				

注 1. 第一行是传统用的配分  $[\nu] = [\nu_1, \nu_2, \dots]$ , 第二行是  $S_n$  的二循环类算符的本征值  $\lambda_n^{(\nu)}$ , 这二者的关系为:

$$\lambda_n^{(\nu)} = \frac{\nu}{2} + \frac{1}{2} \sum_i \nu_i (\nu_i - 2)$$

2. 和  $IR[\nu]$  相共轭的表示  $[\bar{\nu}]$  对应于本征值  $\lambda_n^{(\bar{\nu})} = -\lambda_n^{(\nu)}$ , 为了节省篇幅表中只列出了  $\lambda_n^{(\nu)} \geq 0$  的部分。

和 [33] 都对应于  $\lambda_6 = 3$ ,  $S_8$  群 [4211] 和 [332] 都对应于  $\lambda_8 = 0$ , 等.

2. 有了表 1, 就很容易求得置换群标准基新、老标志的对应关系. 我们知道, 标志置换群标准基的杨盘或 Yamanouchi 数的含义是根据分支律<sup>[12]</sup>来确定的. 例如  $S_6$  群 [411] 表

示第二分量  $\phi_2^{[411]} = \begin{array}{|c|c|c|c|} \hline 1 & 2 & 3 & 5 \\ \hline 4 & & & \\ \hline 6 & & & \\ \hline \end{array}$  属于  $[411] \supset [41] \supset [31] \supset [3] \supset [2]$  表示. 由表 1 可

知, 配分 [411], [41], [31], [3], [2] 分别对应于本征值 3, 5, 2, 3, 1. 因此 IR 基  $\phi_2^{[411]}$  的新标志为  $\lambda = (\lambda_6, \lambda_5, \lambda_4, \lambda_3, \lambda_2) = (3, 5, 2, 3, 1)$ . 作为例子, 表 2 给出了  $S_6$  群 [411] 和 [33] 表示 IR 基的三种标志方法的对照, 表中第一行为量子数  $\lambda$ , 第二行为 Yamanouchi 数, 第三行为杨盘.

表 2  $S_6$  群的 [411] 和 [33] 表示 IR 基的三种标志方法

$\psi_\lambda$	$\psi_{3,5,6,3,1}$	$\psi_{3,5,2,3,1}$	$\psi_{3,5,2,0,1}$	$\psi_{3,5,2,0,-1}$	$\psi_{3,0,2,3,1}$
$\psi(r)$	$\psi(321111)$	$\psi(312111)$	$\psi(311211)$	$\psi(311121)$	$\psi(132111)$
标准杨盘	$\begin{array}{ c c c c } \hline 1 & 2 & 3 & 4 \\ \hline 5 & & & \\ \hline 6 & & & \\ \hline \end{array}$	$\begin{array}{ c c c c } \hline 1 & 2 & 3 & 5 \\ \hline 4 & & & \\ \hline 6 & & & \\ \hline \end{array}$	$\begin{array}{ c c c c } \hline 1 & 2 & 4 & 5 \\ \hline 3 & & & \\ \hline 6 & & & \\ \hline \end{array}$	$\begin{array}{ c c c c } \hline 1 & 3 & 4 & 5 \\ \hline 2 & & & \\ \hline 6 & & & \\ \hline \end{array}$	$\begin{array}{ c c c c } \hline 1 & 2 & 3 & 6 \\ \hline 4 & & & \\ \hline 5 & & & \\ \hline \end{array}$
$\psi_\lambda$	$\psi_{3,0,2,0,1}$	$\psi_{3,0,2,0,-1}$	$\psi_{3,0,-2,0,1}$	$\psi_{3,0,-2,0,-1}$	$\psi_{3,0,-2,-3,-1}$
$\psi(r)$	$\psi(131211)$	$\psi(131121)$	$\psi(113211)$	$\psi(113121)$	$\psi(111321)$
标准杨盘	$\begin{array}{ c c c c } \hline 1 & 2 & 4 & 6 \\ \hline 3 & & & \\ \hline 5 & & & \\ \hline \end{array}$	$\begin{array}{ c c c c } \hline 1 & 3 & 4 & 6 \\ \hline 2 & & & \\ \hline 5 & & & \\ \hline \end{array}$	$\begin{array}{ c c c c } \hline 1 & 2 & 5 & 6 \\ \hline 3 & & & \\ \hline 4 & & & \\ \hline \end{array}$	$\begin{array}{ c c c c } \hline 1 & 3 & 5 & 6 \\ \hline 2 & & & \\ \hline 4 & & & \\ \hline \end{array}$	$\begin{array}{ c c c c } \hline 1 & 4 & 5 & 6 \\ \hline 2 & & & \\ \hline 3 & & & \\ \hline \end{array}$
$\psi_\lambda$	$\psi_{3,2,2,3,1}$	$\psi_{3,2,2,0,1}$	$\psi_{3,2,2,0,-1}$	$\psi_{3,2,0,0,1}$	$\psi_{3,2,0,0,-1}$
$\psi(r)$	$\psi(222111)$	$\psi(221211)$	$\psi(221121)$	$\psi(212211)$	$\psi(212121)$
标准杨盘	$\begin{array}{ c c c } \hline 1 & 2 & 3 \\ \hline 4 & 5 & 6 \\ \hline \end{array}$	$\begin{array}{ c c c } \hline 1 & 2 & 4 \\ \hline 3 & 5 & 6 \\ \hline \end{array}$	$\begin{array}{ c c c } \hline 1 & 3 & 4 \\ \hline 2 & 5 & 6 \\ \hline \end{array}$	$\begin{array}{ c c c } \hline 1 & 2 & 5 \\ \hline 3 & 4 & 6 \\ \hline \end{array}$	$\begin{array}{ c c c } \hline 1 & 3 & 5 \\ \hline 2 & 4 & 6 \\ \hline \end{array}$

我们还可以把新、老标志的对应关系, 用一个“航线图”形象地表示出来. 例如  $S_6 \rightarrow S \rightarrow \dots \rightarrow S_2$  的约化过程可用图 1 所示的“航线图”来表示. 每个配分  $[\nu]$  下面圆括号内的数为本征值  $\lambda_n$ . 从任一个  $[\nu]$  出发, 由箭号所指的每一条“航线”就对应一个标准基, 箭号所经过的一系列本征值就可用来标志这个标准基. 从任一  $[\nu]$  出发的“航线”总数就是  $IR[\nu]$  的维数  $h_\nu$ .

以下为方便起见, 称  $\lambda_2 = \pm 1$  为该 IR 基的“字称”

3. 对应于每一个基  $\psi_\lambda$ , 必定有一个基  $\psi_{-\lambda}$ , 这里  $-\lambda \equiv (-\lambda_n, -\lambda_{n-1}, \dots, -\lambda_2)$ . 又由于  $\pm \lambda_n$  对应于  $S_n$  群互为共轭的表示  $[\nu]$  和  $[\tilde{\nu}]$ , 所以  $\psi_\lambda$  和  $\psi_{-\lambda}$  对应于互为转置的两个杨盘, 例如

$$\psi_{3,2,2,3,1} = \begin{array}{|c|c|c|} \hline 1 & 2 & 3 \\ \hline 4 & 5 & 6 \\ \hline \end{array}, \quad \psi_{-3,-2,-2,-3,-1} = \begin{array}{|c|c|} \hline 1 & 4 \\ \hline 2 & 5 \\ \hline 3 & 6 \\ \hline \end{array}.$$

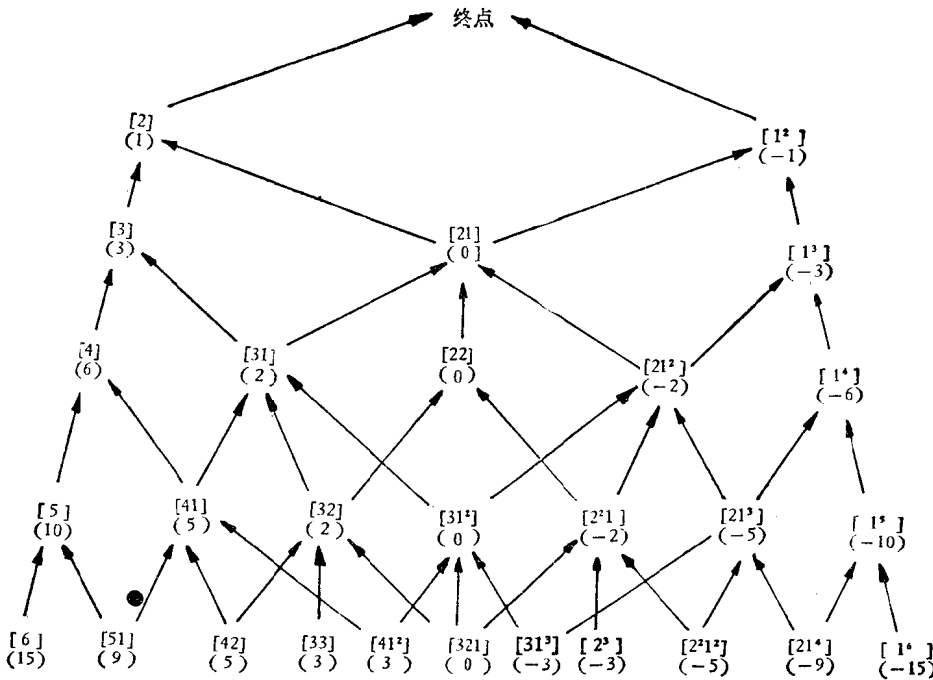


图1  $n \leq 6$  的置换群的约化及其标准基的图示。

#### 4. $\phi_\lambda$ 为正交归一基

$$\langle \phi_\lambda | \phi_{\lambda'} \rangle = \delta_{\lambda_n \lambda'_n} \delta_{\lambda_{n-1} \lambda'_{n-1}} \cdots \delta_{\lambda_1 \lambda'_1}. \quad (1.4)$$

5. 我们可以把  $\lambda = (\lambda_n, \lambda_{n-1}, \dots, \lambda_1)$  看成一个  $n$  维矢量，并定义，如果  $\lambda$  的头一个不为零的分量大于零，则称  $\lambda$  为正（记为  $\lambda > 0$ ）；若  $\lambda - \lambda' > 0$ ，则称  $\lambda > \lambda'$ . 这样定义后， $\lambda$  从大到小的排列顺序就和习惯上常用的 Yamanouchi 数的顺序<sup>[12]</sup>完全一致，例如

$$\begin{aligned}
 |[32]1\rangle &= \begin{array}{|c|c|c|} \hline 1 & 2 & 3 \\ \hline 4 & 5 \\ \hline \end{array} & |[32]2\rangle &= \begin{array}{|c|c|c|} \hline 1 & 2 & 4 \\ \hline 3 & 5 \\ \hline \end{array} & |[32]3\rangle &= \begin{array}{|c|c|c|} \hline 1 & 3 & 4 \\ \hline 2 & 5 \\ \hline \end{array} \\
 \lambda &= (2, 2, 3, 1) & (2, 2, 0, 1) & (2, 2, 0, -1) \\
 \text{Yamanouchi 数 } r &= (22111) & (21211) & (21121) \\
 |[32]4\rangle &= \begin{array}{|c|c|c|} \hline 1 & 2 & 5 \\ \hline 3 & 4 \\ \hline \end{array} & |[32]5\rangle &= \begin{array}{|c|c|c|} \hline 1 & 3 & 5 \\ \hline 2 & 4 \\ \hline \end{array} \\
 (2, 0, 0, 1) & & (2, 0, 0, -1) & \\
 (12211) & & (12121) & \quad (1.5)
 \end{aligned}$$

**位相问题** 由本征方程 (1.1) 得到的本征函数  $\psi_m^\nu$  的位相是可以自由选择的。常用的 Young-Yamanouchi 基的标准位相是这样确定的，即规定  $S_f$  群相邻对换 (Transposition)  $T$  的非对角矩阵元永远大于等于零<sup>[12]</sup>

$$D_{m'm}^\nu(T) \geq 0, \quad T = (12), (23), \dots, (n-1, n).$$

为了使本征函数法求得的 IR 基和 Young-Yamanouchi 基包括位相在内完全一致，我们可以这样做。利用对换算符  $T$  的以下性质

$$T \Psi_m^\nu = D_{mm}^\nu(T) \Psi_m^\nu + D_{m'm}^\nu(T) \Psi_{m'}^\nu, \quad (1.6)$$

这里  $D^\nu(T)$  为不可约矩阵。只有当量子数  $(\nu m')$  和  $(\nu m)$  所对应的杨盘  $Y_{m'}$  和  $Y_m$  满足

$$Y_{m'} = T Y_m \quad (1.7)$$

时,  $D_{m'm}^\nu(T)$  才不为零。由 (1.6) 式得

$$\Psi_{m'}^{\nu_r} = [T - D_{mm}^\nu(T)] \Psi_m^{\nu_r} / D_{m'm}^\nu(T). \quad (1.8)$$

因此, 我们只需由本征方程 (1.1) 求出  $IR(\nu_r)$  的任一个分量  $m$  的解  $\Psi_m^{\nu_r}$ , 选择适当的对换算符, 并利用对换算符的标准矩阵元  $D^\nu(T)$ , 就可由 (1.8) 式求出该  $IR(\nu_r)$  内其余所有分量解。这样做既减少了解本征方程的次数(对每一  $IR(\nu)$  只要解一次), 又能保证满足标准位相, 一举两得。例如, 若已解出 [32] 表示第一分量  $|[32]1\rangle$ , 由 (1.5), (1.7) 式知,  $Y_2^{[32]} = (34)Y_1^{[32]}$ , 因此选  $T = (34)$ , 利用 (1.8) 式就能由  $|[32]1\rangle$  求得  $|[32]2\rangle$ ; 类似地再选  $T = (23)$ , 就可由  $|[32]2\rangle$  求得  $|[32]3\rangle$ ; 选  $T = (45)$ , 可由  $|[32]2\rangle$  求得  $|[32]4\rangle$ ; 选  $T = (23)$  可由  $|[32]4\rangle$  求得  $|[32]5\rangle$ 。

## 第二章 置换群 CG 系数<sup>1)</sup>

### 2.1 置换群的内积

大家知道,一个微观粒子的状态可用 Hilbert 空间中的一个矢量  $\phi(q)$  来表示,这里  $q$  代表粒子的坐标,既包括粒子的空间坐标  $x, y, z$ ,也包括内部自由度坐标,如电子的自旋、核子的自旋、同位旋坐标等等。讨论一个由  $f$  个粒子组成的系统的置换对称性时,常常将粒子坐标分成两部分,一部分记为  $x$ ,一部分记为  $\xi$ 。 $x$  可以代表空间坐标  $x, y, z$ ; $\xi$  代表自旋,或自旋-同位旋坐标;也可以是  $x$  代表同位旋或么旋坐标, $\xi$  代表自旋坐标等等。于是有三种置换群  $S_f$ :

置换群	$S_f(x)$	$S_f(\xi)$	$S_f(q), q_i = (x_i, \xi_i)$
群元	${}^x R$	${}^\xi R$	${}^q R \equiv R$

(2.1)

根据定义,显然有

$$[{}^x R, {}^\xi R] = 0, \quad R = {}^x R {}^\xi R. \quad (2.2)$$

置换群  $S_f(q)$  就是  $S_f(x)$  和  $S_f(\xi)$  的内积。如何将  $S_f(x)$  的  $[\nu_1]IR$  基和  $S_f(\xi)$  的  $[\nu_2]IR$  基之积线性组合成  $S_f(q)$  的  $[\nu]$  不可约基,就是置换群内积约化问题,记为

$$[\nu_1] \times [\nu_2] = \sum_{\nu} (\nu_1 \nu_2 \nu) [\nu]. \quad (2.3)$$

(2.3)式称为 CG 序列,式中  $(\nu_1 \nu_2 \nu)$  为直乘表示  $[\nu_1] \times [\nu_2]$  中包含  $[\nu]$  的次数,它可用置换群特征标  $\chi_i^{\nu}$  表示出来<sup>[22]</sup>:

$$(\nu_1 \nu_2 \nu) = \frac{1}{g} \sum_i g_i \chi_i^{\nu_1} \chi_i^{\nu_2} \chi_i^{\nu} \quad (2.4)$$

$(\nu_1 \nu_2 \nu)$  满足以下对称关系:

$$\begin{aligned} (\nu_1 \nu_2 \nu) &= (\nu_2 \nu_1 \nu) = (\nu_1 \nu \nu_2), \\ (\nu_1 \nu_2 \nu) &= (\tilde{\nu}_1 \tilde{\nu}_2 \nu) = (\nu_1 \tilde{\nu}_2 \tilde{\nu}) = (\tilde{\nu}_1 \nu_2 \tilde{\nu}). \end{aligned} \quad (2.5)$$

Itzykson 等<sup>[23]</sup>给出了八个粒子以内  $(\nu_1 \nu_2 \nu)$  的数值表。

### 2.2 计算置换群 CG 系数的本征函数法

若  $\varphi_{m_1}^{\nu_1}(x)$  和  $\varphi_{m_2}^{\nu_2}(\xi)$  分别为  $S_f(x)$  和  $S_f(\xi)$  的  $IR$  基,它们的积

$$|m_1 m_2\rangle = \varphi_{m_1}^{\nu_1}(x) \varphi_{m_2}^{\nu_2}(\xi) \quad (2.6)$$

构成  $S_f(q)$  的可约基,利用置换群 CGC 可以将它组合成  $S_f(q)$  的  $IR$  基  $\Psi_m^{\nu}(q)$ :

1) 本章内容可参考文献 [24] 第四章

$$\Psi_m^{\nu\tau}(q) = \sum_{m_1 m_2} C_{\nu_1 m_1, \nu_2 m_2}^{\nu\tau m} |m_1 m_2\rangle, \quad \tau = 1, 2, \dots (\nu_1 \nu_2 v). \quad (2.7)$$

由(2.2)(2.7)式容易证明, CGC 满足联立线性方程<sup>[12]</sup>

$$\begin{aligned} \sum_{m_1 m_2 m} [A_{m'_1 m'_2 m', m_1 m_2 m}(R_a) - \delta_{m'_1 m_1} \delta_{m'_2 m_2} \delta_{m m'}] C_{\nu_1 m_1, \nu_2 m_2}^{\nu\tau m} &= 0, \quad a = 1, 2, \dots f! \quad (2.8) \\ A_{m'_1 m'_2 m', m_1 m_2 m}(R_a) &= D_{m'_1 m_1}^{\nu_1}(R_a) D_{m'_2 m_2}^{\nu_2}(R_a) D_{m' m}^{\nu\tau}(R_a). \end{aligned}$$

(2.8)式是一组  $f!$  个包含三重求和的线性方程组, 直接用它来计算 CGC 是非常困难的, 而 Hamermesh<sup>[12]</sup> 及 Sullivan<sup>[10]</sup> 等人的改进方法也没有从根本上解决问题。另一个熟知的方法是投影算符法<sup>[18]</sup>, 但由于它有一系列缺点<sup>[15]</sup>, 除了极少数低阶置换群外, 也无法用来计算置换群 CGC。

由于上述四种计算 CGC 的方法都有严重不足, 下面着重介绍用本征函数法求 CGC。由(1.1)(2.7)式, 得出 CGC 满足的联立本征方程:

$$\sum_{m_1 m_2} [\langle m'_1 m'_2 | C_n | m_1 m_2 \rangle - \lambda_n \delta_{m'_1 m_1} \delta_{m'_2 m_2}] C_{\nu_1 m_1, \nu_2 m_2}^{\nu\tau m} = 0, \quad n = f, f-1, \dots, 2; \quad \tau = 1, 2, \dots (\nu_1 \nu_2 v) \quad (2.9a)$$

$$\langle m'_1 m'_2 | C_n | m_1 m_2 \rangle = \sum_{j>i=1}^n D_{m'_1 m_1}^{\nu_1}(ij) D_{m'_2 m_2}^{\nu_2}(ij). \quad (2.9b)$$

$N \times N$  方阵 ( $N = h_1 h_2$ ,  $h_1$  和  $h_2$  分别为  $IR[\nu_1]$  和  $[\nu_2]$  的维数)

$$M_n = \|\langle m'_1 m'_2 | C_n | m_1 m_2 \rangle\|_1^n \quad (2.10)$$

是  $S_n(q)$  群的二循环类算符  $C_n$  在非耦合表象  $|m_1 m_2\rangle$  中的矩阵表示, 将  $f-1$  个  $N \times N$  矩阵  $M_f, M_{f-1}, \dots, M_2$  同时对角化就得到置换群 CGC。

如果对一套本征值  $(\nu, m) = (\lambda_f, \lambda_{f-1}, \dots, \lambda_2)$  方程组 (2.9a) 式只有一个线性独立解, 这表明  $(\nu_1 \nu_2 v) = 1$ , 附加指标  $\tau$  是多余的, 可以略去。如果对一套本征值  $(\nu, m)$  方程组 (2.9a) 有  $n_0$  组线性独立解, 则表明  $(\nu_1 \nu_2 v) = n_0$ , 仅用量子数  $(\nu, m)$  不能区分这  $n$  个线性独立解, 须用附加指标  $\tau$  区别之。适当选取  $(\nu_1 \nu_2 v)$  组线性独立解  $C_{\nu_1 m_1, \nu_2 m_2}^{\nu\tau m}$ , 可使它满足一定的对称性[见后面 2.3 节], 并对不同的  $\tau$  指标正交。

容易证明类算符  $C_n$  的矩阵元有以下对称性质:

(1) 由(2.9b)式立即可知  $M_n$  为一实对称矩阵, 满足

$$\langle m'_1 m'_2 | C_n | m_1 m_2 \rangle = \langle m_1 m_2 | C_n | m'_1 m'_2 \rangle = \langle m'_1 m_2 | C_n | m_1 m'_2 \rangle = \langle m_1 m'_2 | C_n | m'_1 m_2 \rangle.$$

(2) 置换群标准矩阵元满足<sup>[16]</sup>

$$D_{m' m}^{\nu\tau}(R_a) = \delta_a \Lambda_m^{\nu} \Lambda_m^{\tau} D_{m' m}^{\nu\tau}(R_a), \quad (2.11)$$

这里  $\delta_a$  为置换算符  $R_a$  的置换字称,  $\Lambda_m^{\nu}$  就是文[12](p.266)定义的位相因子。由(2.11)和(2.9b)式得

$$\langle \tilde{m}'_1 \tilde{m}'_2 | C_n | \tilde{m}_1 \tilde{m}_2 \rangle = \Lambda_{m'_1}^{\nu_1} \Lambda_{m'_2}^{\nu_2} \Lambda_{m_1}^{\nu_1} \Lambda_{m_2}^{\nu_2} \langle m'_1 m'_2 | C_n | m_1 m_2 \rangle. \quad (2.12)$$

由上式可导出 CGC 的一个重要对称关系。先将(2.9a)式改写成以下形式:

$$\sum_{m_1 m} \langle \tilde{m}'_1 \tilde{m}'_2 | C_n | \tilde{m}_1 \tilde{m}_2 \rangle C_{\tilde{m}'_1 \tilde{m}_1, \tilde{m}'_2 \tilde{m}_2}^{\nu\tau m} = \lambda_n C_{\tilde{m}'_1 \tilde{m}_1, \tilde{m}'_2 \tilde{m}_2}^{\nu\tau m}. \quad (2.13)$$

将(2.11)式代入,得

$$\sum_{m_1 m_2} \langle m'_1 m'_2 | C_n | m_1 m_2 \rangle A_{m_1}^{\nu_1} A_{m_2}^{\nu_2} C_{\nu_1 \tilde{m}_1, \nu_2 \tilde{m}_2}^{\nu_r m} = \lambda_n A_{m_1}^{\nu_1} A_{m_2}^{\nu_2} C_{\nu_1 \tilde{m}_1, \nu_2 \tilde{m}_2}^{\nu_r m}. \quad (2.14)$$

比较(2.9)和(2.14)式可知

$$C_{\nu_1 \tilde{m}_1, \nu_2 \tilde{m}_2}^{\nu_r m} = \sum_{r'} a_{r'} A_{m_1}^{\nu_1} A_{m_2}^{\nu_2} C_{\nu_1 m_1, \nu_2 m_2}^{\nu_r m'}, \quad (2.15a)$$

这里  $a_{r'}$  为系数。当  $\nu_1, \nu_2$  不同时为自轭表示时,我们总可以这样来选择本征方程的解,使得下式成立:

$$C_{\nu_1 m_1, \nu_2 m_2}^{\nu_r m} = (-)^{\nu_1 \nu_2 \nu_r} A_{m_1}^{\nu_1} A_{m_2}^{\nu_2} C_{\nu_1 \tilde{m}_1, \nu_2 \tilde{m}_2}^{\nu_r m}, \quad (2.15b)$$

这里  $(-)^{\nu_1 \nu_2 \nu_r}$  为一位相因子,它只和  $\nu_1, \nu_2, \nu_r$  有关。因为 CGC 的绝对位相可自由选择,因此  $(-)^{\nu_1 \nu_2 \nu_r}$  可取 +1 或 -1。我们都只对第一行之长大于等于第一列之长的  $\nu_1, \nu$  给出 CGC 表,利用(2.15b)式就可得到第一行之长小于第一列之长的  $\nu_1, \nu_2$  的 CGC 表。

当  $\nu_1, \nu_2$  都为自轭表示 ( $[\nu_1] = [\tilde{\nu}_1], [\nu_2] = [\tilde{\nu}_2]$ ) 时,如果

(a) 多重性为 1, 则(2.15b)式仍满足,但这时相因子  $(-)^{\nu_1 \nu_2 \nu_r}$  不再是自由选择的了,而由置换群 IR 基的相对位相约定所决定,也就是说由算出来的 CG 系数表本身所决定。

(b) 多重性为 2, 这时有两种可能,一是两套系数  $C_{\nu_1 m_1, \nu_2 m_2}^{[\nu]_\alpha m}$  和  $C_{\nu_1 m_1, \nu_2 m_2}^{[\nu]_\beta m}$  都为“对称”[即(2.15b)式中的因子  $(-)^{\nu_1 \nu_2 \nu_r} = 1$ ]或都为“反对称”[即(2.15b)式中的因子  $(-)^{\nu_1 \nu_2 \nu_r} = -1$ ],则计算出的 CGC 自动满足(2.15b)式。二是两套系数中既有“对称”成分又有“反对称”成分,则计算出的 CGC 一般不会自动满足(2.15b)式,但一定可以通过适当线性组合,使得一套系数满足“对称”(即  $(-)^{\nu_1 \nu_2 \nu_\alpha} = 1$ ),另一套满足“反对称”( $(-)^{\nu_1 \nu_2 \nu_\beta} = -1$ )。

(c) 多重性大于 2, 对六个粒子以内的置换群内积约化问题,只在以下情况出现多重性大于 2。(1) 当  $[\nu_1] = [42]$  或  $[411]$ ;  $[\nu_2] = [\nu] = [321]$ ; 组合方法见(2.63)式(2)。当  $[\nu_1] = [\nu_2] = [\nu] = [321]$ , 这时由于维数  $N$  太大 ( $N = 16 \times 16 = 256$ ), TQ-16 机器内存容量不够,我们没有计算其 CGC。

下面讨论 CGC 的计算方法。令 IR 基  $|[\nu_i] m_i\rangle$  对应的量子数为  $(\lambda_1^{(i)}, \dots, \lambda_2^{(i)})$ , 由

$$\begin{aligned} C_2 &= (12) = {}^*C_2 {}^\xi C_2 \\ {}^*C_2 |[\nu_1] m_1\rangle &= \lambda_2^{(1)} |[\nu_1] m_1\rangle, \quad {}^\xi C_2 |[\nu_2] m_2\rangle = \lambda_2^{(2)} |[\nu_2] m_2\rangle, \\ C_2 |m_1 m_2\rangle &= \lambda_2 |m_1 m_2\rangle, \quad \lambda_2 = \lambda_2^{(1)} \lambda_2^{(2)}, \end{aligned} \quad (2.16)$$

立即得到

$$\langle m'_1 m'_2 | C_2 | m_1 m_2 \rangle = \lambda_2 \delta_{m'_1 m_1} \delta_{m'_2 m_2}, \quad (2.17)$$

因此  $M_2$  为一对角矩阵,故只需将  $f - 2$  个矩阵  $M_f, \dots, M_3$  同时对角化,就可求出 CGC。利用(2.16)式及

$$C_2^{-1} C_n C_2 = C_n, \quad n = f, f - 1, \dots, 2. \quad (2.18)$$

得

$$\langle m'_1 m'_2 | C_2^{-1} C_n C_2 | m_1 m_2 \rangle = \langle m'_1 m'_2 | C_n | m_1 m_2 \rangle,$$

$$\lambda'_2 \lambda_2 \langle m'_1 m'_2 | C_n | m_1 m_2 \rangle = \langle m'_1 m'_2 | C_n | m_1 m_2 \rangle.$$

注意本征值  $\lambda_2$  和  $\lambda'_2$  只能取  $\pm 1$ , 因此

$$\langle m'_1 m'_2 | C_n | m_1 m_2 \rangle = 0, \quad \text{当 } \lambda_2 \neq \lambda'_2. \quad (2.19)$$

上式表明,  $\lambda_2$  值不同的乘积态之间没有耦合。适当规定乘积态  $|m_1 m_2\rangle$  的次序后, 所有  $(f-2)$  个矩阵  $M_n$  都变为一准对角矩阵:

$$M_n = \begin{pmatrix} M_n^{(+)} & 0 \\ 0 & M_n^{(-)} \end{pmatrix}, \quad n = f, \dots, 3, \quad (2.20)$$

$$M_n^{(\pm)} = \| \langle m'_1 m'_2 | C_n | m_1 m_2 \rangle_{\pm} \| N_{\pm}, \quad (2.21)$$

这里  $N_{\pm}$  为  $N$  个乘积基  $|m_1 m_2\rangle$  中,  $\lambda_2 = \pm 1$  态的数目,  $N = N_+ + N_-$ . 这样就把原来  $f-1$  个  $N \times N$  矩阵  $M_f \cdots M_2$  同时对角化问题简化为将  $(f-2)$  个矩阵  $M_f^{(+)} \cdots M_3^{(+)}$  和  $(f-2)$  个矩阵  $M_f^{(-)} \cdots M_3^{(-)}$  分别同时对角化。不但大大节省了计算机内存和计算时间, 而且给 CGC 列表也带来了很大方便, 每一个 CGC 表都可根据  $\lambda_2 = \pm 1$  分解成两个分表列出。

例如若要求  $S_4$  群 [31]  $\times$  [22] 的 CGC, [31] 为三维表示, [22] 为二维表示,  $(m_1 m_2) \equiv |m_1 m_2\rangle = (11), (12), (21), (22), (31), (32)$  (这里 1, 2, 3 等为 Yamanouchi 基  $Y_{m_1}^n$ ,  $Y_{m_2}^n$  的编号, 见书末表 11); 其中 (11), (21), (32) 属  $\lambda_2 = +1$ , (12), (22), (31) 属  $\lambda_2 = -1$ . 由 (2.9b) 式可算得矩阵:

$$M_4 = \left( \begin{array}{c|ccc|ccc} (m_1 m_2) & (11) & (21) & (32) & (12) & (22) & (31) \\ \hline 0 & 0 & \sqrt{2} & -\sqrt{2} & & & \\ \sqrt{2} & \sqrt{2} & 1 & 1 & & 0 & \\ -\sqrt{2} & -\sqrt{2} & 1 & 1 & & & \\ \hline 0 & & & & 0 & -\sqrt{2} & -\sqrt{2} \\ & & & & -\sqrt{2} & -1 & 1 \\ & & & & -\sqrt{2} & 1 & -1 \end{array} \right),$$

$$M_3 = \left( \begin{array}{c|ccc|ccc} (11) & (21) & (32) & (12) & (22) & (31) \\ \hline 0 & 0 & 0 & & & 0 \\ 0 & 3/2 & 3/2 & & & & \\ 0 & 3/2 & 3/2 & & & & \\ \hline 0 & & & 0 & 0 & 0 \\ & & & 0 & -3/2 & 3/2 \\ & & & 0 & 3/2 & -3/2 \end{array} \right).$$

它们都是准对角的, 把它们同时对角化, 就可得出  $C_4$  和  $C_3$  的本征值和本征向量, 即 CGC, 列在表 3.

从上例看到, 原则上说我们可不必预先知道 CG 序列, 只要将 (2.21) 式的矩阵同时对角化就能给出 CGC. 但如果利用现成的 CG 序列<sup>[2]</sup>, 则计算 CGC 问题变得更加简单, 具体的计算步骤见 2.5 节.

表3  $[31] \times [22] = [31] + [211]$  CG 系数

正字称 ( $\lambda_1 = 1$ ) 解			负字称 ( $\lambda_1 = -1$ ) 解		
$\lambda_4$	$\lambda_3$	$[\nu]m$	(11)	(21)	(32)
2	3	[31]1	0	$\sqrt{\frac{1}{2}}$	$\sqrt{\frac{1}{2}}$
2	0	[31]2	$\sqrt{\frac{1}{2}}$	$\frac{1}{2}$	$-\frac{1}{2}$
-2	0	[211]1	$\sqrt{\frac{1}{2}}$	$-\frac{1}{2}$	$\frac{1}{2}$
$\lambda_4$	$\lambda_3$	$[\nu]m$	(12)	(22)	(31)
2	0	[31]3	$\sqrt{\frac{1}{2}}$	$-\frac{1}{2}$	$-\frac{1}{2}$
-2	0	[211]2	$\sqrt{\frac{1}{2}}$	$\frac{1}{2}$	$\frac{1}{2}$
-2	-3	[211]3	0	$-\sqrt{\frac{1}{2}}$	$\sqrt{\frac{1}{2}}$

### 2.3 置换群 CG 系数的性质

#### 1. 么正性

$$\sum_{\nu_1 \nu_2} C_{[\nu_1]m_1, [\nu_2]m_2}^{[\nu]\tau, m} C_{[\nu_1]m_1, [\nu_2]m_2}^{[\nu']\tau', m'} = \delta_{\nu\nu'} \delta_{\tau\tau'} \delta_{mm'},$$

$$\sum_{\nu \tau m} C_{[\nu_1]m_1, [\nu_2]m_2}^{[\nu]\tau, m} C_{[\nu_1]m'_1, [\nu_2]m'_2}^{[\nu]\tau, m} = \delta_{m_1 m'_1} \delta_{m_2 m'_2}. \quad (2.22)$$

2. 当  $[\nu_1], [\nu_2]$  和  $[\nu]$  全不相等时, 有

$$\frac{1}{\sqrt{h_\nu}} C_{[\nu_1]m_1, [\nu_2]m_2}^{[\nu]\tau, m} = (-)^{\nu_1 \nu_2 \nu} \frac{1}{\sqrt{h_{\nu_1}}} C_{[\nu]m, [\nu_1]m_1}^{[\nu]\tau, m_1} = (-)^{\nu_1 \nu_2 \nu} \frac{1}{\sqrt{h_{\nu_2}}} C_{[\nu_1]m_1, [\nu]m_2}^{[\nu]\tau, m_2}, \quad (2.23)$$

这里  $(-)^{\nu_1 \nu_2 \nu}$  为一相因子, 它只和  $\nu_1, \nu_2, \nu$  有关. 因为 CGC 的绝对位相可自由选择, 因此  $(-)^{\nu_1 \nu_2 \nu}$  可取 +1 或 -1.

3. 当  $[\nu_1] \neq [\nu_2]$  时, 有

$$C_{[\nu_1]m_1, [\nu_2]m_2}^{[\nu]\tau, m} = (-)^{\nu_1 \nu_2 \nu} C_{[\nu_2]m_2, [\nu_1]m_1}^{[\nu]\tau, m}. \quad (2.24)$$

4. 当  $[\nu_1] = [\nu_2]$  时, 有

$$C_{[\nu_1]m_1, [\nu_1]m_2}^{[\nu]\tau, m} = \delta_{\nu\tau} C_{[\nu]m_2, [\nu_1]m_1}^{[\nu]\tau, m}. \quad (2.25)$$

当  $IR[\nu]\tau$  属于对称括号  $\{(\nu_1) \times (\nu_1)\}_s$  (定义见文 [12] p133) 时,  $\delta_{\nu\tau} = 1$ , 当  $IR[\nu]\tau$  属于反对称括号  $\{(\nu_1) \times (\nu_1)\}_a$  时,  $\delta_{\nu\tau} = -1$ . CGC 表 I 的表头中, 用下标  $s(a)$  指明该  $IR[\nu]\tau$  属于对称(反对称)括号, 因此由这些分表的表头可得出  $\delta_{\nu\tau}$  值, 下同.

5. 当  $[\nu_1] = [\nu_2] \neq [\nu]$  时, 有

$$\frac{1}{\sqrt{h_\nu}} C_{[\nu_1]m_1, [\nu]m_2}^{[\nu]\tau, m} = (-)^{\nu_1 \nu_1 \nu} \frac{1}{\sqrt{h_{\nu_1}}} C_{[\nu]m, [\nu_1]m_2}^{[\nu]\tau, m_2} = (-)^{\nu_1 \nu_1 \nu} \frac{1}{\sqrt{h_{\nu_1}}} \delta_{\nu\tau} C_{[\nu]m, [\nu_1]m_1}^{[\nu]\tau, m_1} \quad (2.26)$$

6. 由性质 5, 立即得到

$$C_{[\nu_1]m_1, [\nu_2]m_2}^{[\nu_1]\tau, m_1} = \delta_{\nu\tau} C_{[\nu_2]m_2, [\nu_1]m_1}^{[\nu_1]\tau, m_1},$$

$$C_{[\nu_1]m_2, [\nu]m}^{[\nu_1]\tau, m} = \delta_{\nu\tau} C_{[\nu]m, [\nu_1]m_1}^{[\nu_1]\tau, m_1}. \quad (2.27)$$

7. 由 (2.25), (2.27) 式得到  $[\nu_1] = [\nu_2] = [\nu]$  时的对称性:

$$C_{[\nu]m_1, [\nu]m_2}^{[\nu]\tau, m} = \delta_{\nu\tau} C_{[\nu]m_2, [\nu]m_1}^{[\nu]\tau, m} = \delta_{\nu\tau} C_{[\nu]m, [\nu]m_1}^{[\nu]\tau, m_1} = \delta_{\nu\tau} C_{[\nu]m_1, [\nu]m}^{[\nu]\tau, m}. \quad (2.28)$$

1) 从 Hamermesh<sup>[12]</sup> (7-207b) 式出发, 容易证明他定义的两个相因子  $\sigma_{\nu\tau}$  和  $\delta_{\nu\tau}$  相等. Hamermesh 的  $\delta_{\nu\tau}$  就是我们这里的  $\delta_{\nu\tau}$ .

8.

$$\begin{aligned}
C_{\nu_1 m_1, \nu_2 m_2}^{\nu r m} &= (-)^{\nu_1 \nu_2 \nu_r} A_{m_1}^{\nu_1} A_{m_2}^{\nu_2} C_{\nu_1 m_1, \nu_2 m_2}^{\nu r m}, \quad (\text{当 } [\nu_1], [\nu_2] \text{ 不全为自轭表示}) \\
&= (-)^{\nu_1 \nu_2 \nu_r} A_{m_1}^{\nu_1} A_m^{\nu} C_{\nu_1 m_1, \nu_2 m_2}^{\nu r m}, \quad (\text{当 } [\nu_1], [\nu] \text{ 不全为自轭表示}) \\
&= (-)^{\nu_1 \nu_2 \nu_r} A_{m_2}^{\nu_2} A_m^{\nu} C_{\nu_1 m_1, \nu_2 m_2}^{\nu r m}, \quad (\text{当 } [\nu_2], [\nu] \text{ 不全为自轭表示}) \quad (2.29a)
\end{aligned}$$

这里  $(-)^{\nu_1 \nu_2 \nu_r}$  为可供自由选择的相因子。位相因子  $A_m^\nu$  列在表 11。

如果上式括号中，所指明的条件不满足时，[例如 (2.29a) 第一式中，若  $[\nu_1]$  和  $[\nu_2]$  都为自轭表示，第二式中  $[\nu_1]$  和  $[\nu]$  都为自轭表示，等等]，则 (2.29a) 式仍然成立，但这时的位相因子  $(-)^{\nu_1 \nu_2 \nu_r}$  不再是可任意选择的了（因这时  $C_{\nu_1 m_1, \nu_2 m_2}^{\nu r m}$  和  $C_{\nu_1 m_1, \nu_2 m_2}^{\nu r m}$  属于同一个 CGC 表，等等）。现将后面表 I 中出现的这些特殊情形下的 CGC 对称性列在下面：

- (1)  $C_{[22]m_1, [22]m_2}^{[22]m} = -A_m^{[22]} A_{m_1}^{[22]} C_{[22]m_1, [22]m_2}^{[22]m} = -A_{m_1}^{[22]} A_{m_2}^{[22]} C_{[22]m_1, [22]m_2}^{[22]m}$ .
- (2)  $C_{[31]m_1, [41]m_2}^{[31]m} = -A_m^{[31]} A_{m_1}^{[31]} C_{[31]m_1, [41]m_2}^{[31]m}$ .
- (3)  $C_{[31]m_1, [32]m_2}^{[31]r, m} = -(-1)^\tau A_{m_1}^{[31]} A_{m_2}^{[31]} C_{[31]m_1, [32]m_2}^{[31]r, m}, \quad \tau = 1, 2$ .
- (4)  $C_{[31]m_1, [311]m_2}^{[31]m} = A_{m_1}^{[31]} A_{m_2}^{[31]} C_{[31]m_1, [311]m_2}^{[31]m} = A_{m_1}^{[31]} A_{m_2}^{[31]} C_{[31]m_1, [311]m_2}^{[31]m}$ .
- (5)  $C_{[51]m_1, [321]m_2}^{[321]r, m} = C_{[51]m_1, [321]m_2}^{[321]r, m}, \quad \tau = 1, 2;$   
 $= (-1)^\tau A_m^{[321]} A_{m_1}^{[321]} C_{[51]m_1, [321]m_2}^{[321]r, m}, \quad \tau = 1, 2.$
- (6)  $C_{[33]m_1, [321]m_2}^{[321]r, m} = -(-1)^\tau C_{[33]m_1, [321]m_2}^{[321]r, m}, \quad \tau = 1, 2;$   
 $= -(-1)^\tau A_m^{[321]} A_{m_2}^{[321]} C_{[33]m_1, [321]m_2}^{[321]r, m}, \quad \tau = 1, 2.$
- (7)  $C_{[42]m_1, [321]m_2}^{[321]r, m} = C_{[42]m_1, [321]m_2}^{[321]r, m}, \quad \tau = 1, 2, 3.$  (2.29b)
- $(-1)^\tau A_m^{[321]} A_{m_2}^{[321]} C_{[42]m_1, [321]m_2}^{[321]r, m}, \quad \tau = 1, 2, 3.$  (2.29c)
- (8)  $C_{[411]m_1, [321]m_2}^{[321]r, m} = C_{[411]m_1, [321]m_2}^{[321]r, m}, \quad \tau = 1 = -C_{[411]m_1, [321]m_2}^{[321]r, m}, \quad \tau = 2, 3, 4,$  (2.29d)  
 $= (-1)^\tau A_m^{[321]} A_{m_2}^{[321]} C_{[411]m_1, [321]m_2}^{[321]r, m}, \quad \tau = 1, 2, 3, 4.$  (2.29e)

特例 当  $[\nu_1], [\nu_2], [\nu]$  中有一个为全对称表示  $[n]$  或全反对称表示  $[1^n]$  时，CGC 很简单，

$$\begin{aligned}
C_{\nu_1 m_1, [n]1}^{[n]m} &= \delta_{\nu \nu_1} \delta_{mm_1}, \quad C_{\nu_1 m_1, [\nu_2]m_2}^{[\nu_2]1} = \frac{1}{\sqrt{h_{\nu_1}}} \delta_{\nu_1 \nu_2} \delta_{m_1 m_2}, \\
C_{\nu_1 m_1, [1^n]1}^{[1^n]m_2} &= A_{m_1}^{\nu_1} \delta_{\nu_1 \nu_2} \delta_{m_1 m_2}, \quad C_{\nu_1 m_1, [\bar{\nu}_2]m_2}^{[\bar{\nu}_2]1} = \frac{A_{m_1}^{\nu_1}}{\sqrt{h_{\nu_1}}} \delta_{\nu_1 \nu_2} \delta_{m_1 m_2}. \quad (2.30)
\end{aligned}$$

## 2.4 置换群 CG 系数的用途

1. 由  $S_f(x)$  和  $S_f(\xi)$  的标准基  $\varphi_{m_1}^{\nu_1}(x)$  和  $\psi_{m_2}^{\nu_2}(\xi)$  构造  $S_f(q)$  的标准基

$$\Psi_m^{\nu r}(q) = \sum_{m_1 m_2} C_{\nu_1 m_1, \nu_2 m_2}^{\nu r m} \varphi_{m_1}^{\nu_1}(x) \psi_{m_2}^{\nu_2}(\xi). \quad (2.31a)$$

2. 构成  $SU_m \supset SU_m \times SU_n$  分类基。若在  $x$  空间有  $m$  个态  $\varphi_i(x), i = 1, 2, \dots, m$ ，  
 $[\varphi_i(x)$  为单粒子态]，它们构成  $SU_m$  群基本表示 [1]；又若在  $\xi$  空间有  $n$  个态  $\chi_a(\xi)$ ，

[注] 后面 CGC 表中分别用记号  $[\nu\alpha], [\nu\beta], [\nu\gamma], [\nu\delta]$  代表  $[\nu]\tau = 1, [\nu]\tau = 2, [\nu]\tau = 3, [\nu]\tau = 4$ 。

$\alpha = 1, 2, \dots, n$  ( $\chi_\alpha(\xi)$  也为单粒子态), 它们构成  $SU_n$  群基本表示 [1], 则在  $q = (x, \xi)$  空间有  $mn$  个单粒子态  $\psi_s(q)$ ,

$$s = (i\alpha) = (1, 1), (1, 2), \dots, (1, n), (2, 1), \dots, (m, n),$$

它们构成  $SU_{mn}$  群的基本表示.

例如基本粒子  $SU_6$  模型中,  $x$  空间为么旋空间,  $i$  代表三种层子态  $p, n, \lambda$ , 它们构成  $SU_3$  的基本表示, 而  $\xi$  空间为自旋空间,  $\alpha$  代表自旋朝上 ( $\alpha$ ) 或自旋朝下 ( $\beta$ ). 于是  $q$  空间中  $s = (p\alpha), (p\beta), (n\alpha), (n\beta), (\lambda\alpha), (\lambda\beta)$  构成  $SU_6$  的基本表示.

下面考虑由单粒子乘积态构成的  $f$  个粒子的多体波函数. 这种多体波函数可以用它在置换群  $S_f$  及其子群链作用下的变换性质, 和它在酉群  $SU_m$  (或  $SU_n$  等) 及其子群链作用下的变换性质完全确定. 假定

$$\varphi_{m_1}^{[\nu_1]}(x, W_1) \equiv \left| \begin{smallmatrix} [\nu_1] \\ W_1 \end{smallmatrix} \right\rangle_{m_1} \text{ 为 } S_i(x) \text{ 群的标准基 } ([\nu_1]m_1), \quad (2.31b)$$

$$\chi_{m_2}^{[\nu_2]}(\xi, W_2) \equiv \left| \begin{smallmatrix} [\nu_2] \\ W_2 \end{smallmatrix} \right\rangle_{m_2} \text{ 为 } S_i(\xi) \text{ 群的标准基 } ([\nu_2]m_2), \quad (2.31b)$$

这里  $W_1$  和  $W_2$  分别为  $SU_m$  和  $SU_n$  群不可约表示的分量指标. 以下为明确起见, 假定我们取  $SU_m$  和  $SU_n$  的不可约基为酉群 Gelfand 基<sup>[19]</sup>, 不过要记住, 以下的讨论对非 Gelfand 基仍然成立.

所谓  $U_n$  群(或  $SU_n$  群)的 Gelfand 基, 是指按群链

$$U_n \supset U_{n-1} \supset \dots \supset U_2 \supset U_1$$

的  $IR$  分类的一种基, 它可用一个 Gelfand 符号

$$\left| \begin{smallmatrix} [\nu] \\ (m) \end{smallmatrix} \right\rangle = \left| \begin{array}{cccccc} m_{1n} & m_{2n} & \cdots & m_{nn} & & \\ & m_{1n-1} & \cdots & m_{n-1, n-1} & & \\ & & \cdots & & & \\ & m_{12} & m_{22} & & & \\ & & & m_{11} & & \end{array} \right\rangle \quad (2.31c)$$

来标志, 这个基属于  $U_n$  群的  $IR[\nu] = [m_{1n}, m_{2n}, \dots, m_{nn}]$  (如果是  $SU_n$  群, 则  $m_{nn} = 0$ ), 属于子群  $U_i$  的  $IR[m_{1i}, m_{2i}, \dots, m_{ii}]$ ,  $i = n-1, \dots, 2, 1$ .  $U_n$  群 Gelfand 基也可用一个 Weyl 盘<sup>[6]</sup> (Bohr 等<sup>[17]</sup>称之为  $\rho_m$  盘) 来标志, 对高维酉群来说, 用 Weyl 盘标志比用 Gelfand 符号标志更为方便. 我们知道, 标志置换群标准基的杨盘是在杨图  $[\nu]$  上按熟知的规则填入粒子坐标编码  $1, 2, \dots, f$  而构成的. 类似地, 标志  $U_n$  群 Gelfand 基的 Weyl 盘, 则是在杨图  $[\nu]$  上按类似的规则填入单粒子态的编码(或称为态指标)  $1, 2, \dots, n$  而构成的, Weyl 盘中态指标可以有重复, 但同一列上不能有相同指标. Weyl 盘和 Gelfand 符号之间的对应关系十分简单, 把 Weyl 盘中标以态指标  $i+1, i+2, \dots, n$  的方格去掉后所剩下的杨图, 给出它所属的  $U_i$  群的  $IR$ , 即 Gelfand 符号 (2.31c) 中的第  $i$  行数  $[m_{1i}, m_{2i}, \dots, m_{ii}]$ . 在规定好单粒子态编码顺序后, 为了明显起见, 我们常常用单粒子态本身的名称代替其编码来构成 Weyl 盘. 例如, 前面所说的  $SU_3$  情形, 规定层子  $p, n, \lambda$  分别为第一、二、三号态后,  $SU_3$  的一个 Gelfand 基就可用以下三种记号中的任一种来标志: